

Primjena SVD rastava matrice u dohvatu informacija i kompresiji slike

Zvonimir Ivančević*, Slobodan Jelić†

Sažetak

U ovom radu ilustrirana je primjena dekompozicije matrice na singularne vrijednosti (SVD) u aproksimaciji matricom nižeg ranga. Kompresiju slike provodimo uzimajući u obzir samo prvih k singularnih vrijednosti u SVD rastavu matrice. Dohvat informacija objašnjen je u okviru modela indeksiranja skrivene semantike. Baza podataka određena je matricom čiji stupci predstavljaju dokumente. Matrica baze podataka zamijenjena je aproksimacijom nižeg ranga, a pronalaženje relevantnih dokumenata na osnovu korisničkog upita svodi se na računanje kosinusa kuta između vektora upita i vektora dokumenta. Što je kut manji, dokument je relevantniji za dani upit.

Ključne riječi: *rastav matrice na singularne vrijednosti, kompresija slike, dohvat informacija, model vektorskog prostora, indeksiranje skrivene semantike, RGB slika, monokromatska slika, rang matrice*

Application of SVD decomposition of a matrix in information retrieval and image compression

Abstract

*Privredna banka Zagreb, email: Zvonimir.Ivancevic@pbz.hr

†Sveučilište u Osijeku, Odjel za matematiku, email: sjelic@mathos.hr

This paper gives the application of singular value decomposition (SVD) in low-rank approximation of a matrix. Image compression is performed by taking only first k singular values in SVD of the matrix. Illustration of information retrieval is based on the concept of a latent semantic indexing model (LSI). The database is determined by the matrix whose columns represent documents. The database matrix is substituted with a low rank-approximation matrix, while searching for relevant documents with respect to the user's query is based on calculating the cosine of the angle between query and document vectors. The smaller the angle, the more relevant is the document for the given query.

Keywords: *singular value decomposition, image compression, information retrieval, vector space model, latent semantic indexing, RGB image, monochrome image, rank of the matrix*

1 Uvod

1.1 Kompresija slike i SVD

Kompresija slike je postupak sažimanja gdje nova slika zauzima manji prostor uz lošiju kvalitetu ali tako da svi bitni dijelovi ostanu uočljivi. Kompresija se javlja zbog potrebe uštete prostora, a možemo ju definirati i kao smanjenje broja pixela¹ koji služe za predstavljanje slike.

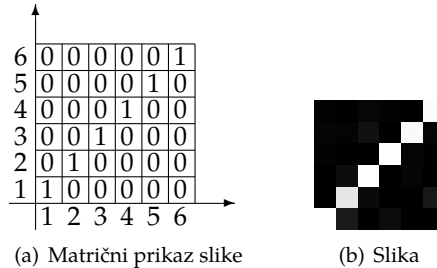
1.1.1 Način reprezentacije slike u računalu

Računalo prikazuje sliku kao matricu kod koje svaki element predstavlja intenzitet pojedinačnog pixela. Ukupan broj pixela korištenih za prikaz slike², naziva se *razlučivost zaslona*. Slika na računalu može biti prikazana na različite načine, pa stoga razlikujemo **crno-bijelu**, **monokromatsku** i **RGB sliku**³. Na slici 1 prikazana je matrica crno-bijele slike veličine 6×6 pixela.

¹eng. picture element

²iskazuje se kao broj vodoravnih puta broj okomitih zaslonskih točaka (npr. 1024 x 768, 1200 x 1024 i dr.)

³eng. Red Green Blue



Slika 1: Prikaz matrice za crno-bijelu sliku 6×6 pixela.

Crno-bijela slika. Kod crno-bijele slike intenzitet pixela može biti 0 ili 1 (gdje 1 znači potpuno bijela, a 0 potpuno crna).

Monokromatska slika. Ako je intenzitet pixela između 0 i 1, onda kažemo da je slika monokromatska. Intenziteti pixela su različite nijanse sive boje (između crne i bijele).

RGB slika. RGB slika je troslojna, predstavljena pomoću tri matrice (vidi sliku 2). U svaku od matrica pohranjuje se intenzitet pixela za jednu od tri boje (crvena, zelena i plava). Ovakav način prezentacije zovemo aditivni RGB model jer se boje dobivaju zbrajanjem pojedinih komponenti. Primjerice, vrijednost $(255, 255, 0)$ se preslikava u žutu boju najjačeg intenziteta, $(255, 255, 255)$ se preslikava u bijelu, a $(0, 0, 0)$ se preslikava u crnu.

6	0	0	0	0	0	0	1
5	0	0	0	0	0	1	0
4	0	0	0	1	0	0	0
3	0	0	1	0	0	0	0
2	0	1	0	0	0	0	G
1	1	0	0	0	0	0	R
	1	2	3	4	5	6	

Slika 2: Prikaz matrice za RGB sliku 6×6 pixela.

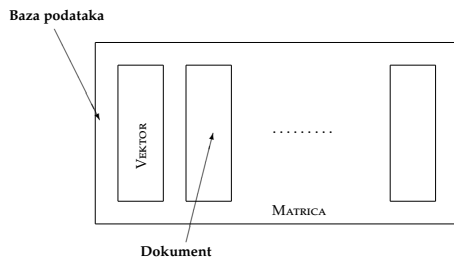
1.2 Dohvat informacija

U posljednja dva desetljeća pojavom interneta i naglim razvojem informacijskih tehnologija razvilo se i posebno područje informacijske znanosti

koje se bavi *dohvatom informacija*⁴. Osnovni zadatak znanosti o dohvatu informacija jeste razviti modele i metode za pretraživanje dokumenata u velikim bazama podataka, pronalaženje relevantnih informacija u dokumentima na osnovu zadanoj upita, itd.

1.2.1 Model vektorskog prostora

U modelu vektorskog prostora⁵ svaki dokument predstavljen je vektorom. Svaki element vektora predstavlja određenu važnost ili prisutnost pojma u opisu semantike tog dokumenta. Baza podataka je skup dokumenata opisanih određenim pojmovima. Možemo ju predstaviti matricom kod koje svaki vektor stupac predstavlja određeni dokument (vidi sliku 3). Broj stupaca matrice jednak je broju dokumenata u bazi. Broj redaka matrice jednak je broju pojmljiva. Indeksiranje u određenom dokumentu predstavlja označavanje samo onih pojmljiva koji imaju ključnu važnost u opisu semantike tog dokumenta. Kako se indeksiranje provodi, ovisi o konkretnom modelu vektorskog prostora koji se koristi.



Slika 3: Model vektorskog prostora

1.2.2 Indeksiranje skrivene semantike

Sada ćemo formalno definirati matricu baze podataka.

⁴eng. information retrieval

⁵eng. the vector space model

Definicija 1.1 (Matrica baze podataka). Neka je $A \in \mathbb{R}^{p \times d}$, gdje je d ukupan broj dokumenata a p ukupan broj pojmove u bazi podataka. Matrica

$$A = \begin{bmatrix} a_{11} & a_{12} & \dots & a_{1j} & \dots & a_{1d} \\ a_{21} & a_{22} & \dots & a_{2j} & \dots & a_{2d} \\ \vdots & \vdots & & \vdots & & \vdots \\ a_{i1} & a_{i2} & \dots & a_{ij} & \dots & a_{id} \\ \vdots & \vdots & & \vdots & & \vdots \\ a_{p1} & a_{12} & \dots & a_{pj} & \dots & a_{pd} \end{bmatrix} = [\mathbf{a}_1 \ \mathbf{a}_2 \ \dots \ \mathbf{a}_j \ \dots \ \mathbf{a}_d], \quad (1)$$

gdje je

$$a_{ij} = \begin{cases} 1, & \text{ako } i\text{-ti pojam opisuje } j\text{-ti dokument} \\ 0, & \text{inače} \end{cases}, \quad (2)$$

naziva se **matrica baze podataka**. Vektori stupci $\mathbf{a}_1, \mathbf{a}_2, \dots, \mathbf{a}_d$ matrice A predstavljaju dokumente baze podataka.

Model *indeksiranja skrivene semantike*⁶ predstavlja jednu varijantu modela vektorskog prostora u kome je matrica baze podataka aproksimirana matricom nižeg ranga. Vektorski prostor stupaca matrice baze podataka zamjenjen je jednim svojim potprostorom. Smanjenje ranga interpretiramo kao uklanjanje nepotrebnih informacija iz baze podataka.

Naćin indeksiranja opisan u definiciji 1.1 nije jedini. Općenito, elementi matrice baze podataka određuju važnost pojedinog pojma u dokumentu. Često su to relativne frekvencije pojma u dokumentu. Što je učestalost pojma veća, on je važniji u opisu semantike dokumenta. Osim relativnih frekvencija postoje i drugi načini indeksiranja kao što je dodjeljivanje lokalnih i globalnih težina pojmovima (vidi primjerice [3], [4]).

Primjer 1. U tablici 1 dana je baza podataka koja se sastoji od 12 naslova preuzetih iz kataloga GRADSKE I SVEUČILIŠNE KNJIŽNICE OSIJEK⁷. Dokumente ćemo indeksirati pomoću ključnih riječi koje su podcrtane u nazivu svakog dokumenta. Odgovarajuća matrica baze podataka dana je u tablici 2. Primjerice, dokument D6 s naslovom Kognitivno-bihevioralna terapija za psihiatrijske probleme sadrži ključne pojmove kognitivni, bihevioralni i terapija. To znači da će u matricu baze podataka na presjeku šestog stupca sa prvim, sedmim i jedanaestim retkom stajati jedinice (prema (2) iz definicije 1.1). Na analogan način indeksiramo i ostale dokumente.

⁶eng. Latent Semantic Indexing, dalje u tekstu LSI

⁷GSKOS - <http://baza.gskos.hr/anew/search.html>

Tablica 1: Različiti naslovi publikacija preuzeti iz kataloga GSKOS

Oznaka	Naslov
D1	<u>Gramatika i predočavanje</u>
D2	<u>Klinička farmacija i terapija</u>
D3	<u>Kognitivna psihologija</u>
D4	<u>Kognitivna terapija</u>
D5	<u>Kognitivna znanost</u>
D6	<u>Kognitivno-bihevioralna terapija</u> za psihiatrijske probleme
D7	<u>Osnove kognitivne terapije</u>
D8	<u>Patologija i terapija tvrdih zubnih tkiva</u>
D9	<u>Psiholingvistika i kognitivna znanost u hrvatskoj primjenjenoj lingvistici</u>
D10	<u>Snaga intuicije</u>
D11	<u>Život bez боли</u>
D12	<u>Život bez droge</u>

Osnovni cilj primjene LSI modela je olakšano pretraživanje baze podataka. Pretraživanje se vrši na osnovu korisničkog upita. *Korisnički upit* sastoji se od ključnih riječi za pretraživanje dokumenata. Vratimo se primjeru 1. Korisnika mogu zanimati samo dokumenti koji imaju veze sa kognitivnom terapijom, tj. korisnički upit će sadržavati pojmove kognitivni i terapija. U LSI modelu upit je predstavljen vektorom⁸ $q \in \mathbb{R}^t$ gdje je t ukupan broj pojnova u bazi. Na mjestu pojnova koje sadržava upit nalazi se 1, inače stoji 0. U našem primjeru, upitu kognitivna terapija odgovara vektor

$$q = [\begin{array}{ccccccccccccccccc} 0 & 0 & 0 & 0 & 0 & 0 & 0 & 1 & 0 & 0 & 0 & 0 & 0 & 0 & 0 & 1 & 0 & 0 & 0 \end{array}]^T \quad (3)$$

Kada korisnik zada upit, on želi pronaći dokument u bazi koji najbolje odgovara tom upitu. Općenito, postoje različiti pristupi u određivanju najrelevantnijeg dokumenta. LSI model ima veoma jasan geometrijski pristup u rješavanju ovog problema. Dokument i upit predstavljeni su vektorima. To nam omogućuje da odredimo *kut između svakog dokumenta i upita*. *Dokument je to relevantniji za korisnički upit što je kut između njih manji*. Kosinus

⁸upit je u LSI modelu isto što i dokument, samo ga definira korisnik

Tablica 2: 18×12 matrica baze podataka iz tablice 1

Pojmovi	Dokumenti											
	D1	D2	D3	D4	D5	D6	D7	D8	D9	D10	D11	D12
Bihevioralni	0	0	0	0	0	1	0	0	0	0	0	0
Bol	0	0	0	0	0	0	0	0	0	0	1	0
Droga	0	0	0	0	0	0	0	0	0	0	0	1
Farmacija	0	1	0	0	0	0	0	0	0	0	0	0
Gramatika	1	0	0	0	0	0	0	0	0	0	0	0
Intuicija	0	0	0	0	0	0	0	0	0	1	0	0
Kognitivni	0	0	1	1	1	1	1	0	0	0	0	0
Lingvistika	0	0	0	0	0	0	0	0	1	0	0	0
Osnova	0	0	0	0	0	0	1	0	0	0	0	0
Patologija	0	0	0	0	0	0	0	1	0	0	0	0
Predočavanje	1	0	0	0	0	0	0	0	0	0	0	0
Primijenjeni	0	0	0	0	0	0	0	0	1	0	0	0
Psiholingvistika	0	0	0	0	0	0	0	0	1	0	0	0
Psihologija	0	0	1	0	0	0	0	0	0	0	0	0
Terapija	0	1	0	1	0	1	1	1	0	0	0	0
Tkiva	0	0	0	0	0	0	0	1	0	0	0	0
Znanost	0	0	0	0	1	0	0	0	0	0	0	0
Život	0	0	0	0	0	0	0	0	0	0	1	1

kuta između vektora a_j i vektora upita q možemo odrediti prema sljedećoj formuli:

$$\cos \theta_j = \frac{a_j^T q}{\|a_j\| \|q\|} = \frac{\sum_{i=1}^p a_{ij} q_i}{\sqrt{\sum_{i=1}^p a_{ij}^2} \sqrt{\sum_{i=1}^p q_i^2}} \quad (4)$$

za $j = 1, 2, \dots, d$, gdje je $\|\cdot\|$ euklidska norma definirana kao $\|x\| = \sqrt{x^T x} = \sqrt{\sum_{i=1}^p x_i^2}$ za bilo koji $x \in \mathbb{R}^p$.

2 SVD rastav matrice

*Singularna dekompozicija matrice*⁹ ima primjenu u rješavanju neuvjetovanog problema najmanjih kvadrata, procjene ranga matrice, itd. Važnost ove dekompozicije jeste u tome što ona otkriva strukturu matrice. Na osnovu SVD-a možemo odrediti rang matrice, njezinu jezgru i sliku, uvjetovanost, itd. U našem slučaju najvažnija je činjenica da SVD omogućava aproksimaciju nižeg ranga. U sljedećem teoremu dana je definicija i egzistencija SVD-a.

Teorem 2.1 (Dekompozicija na singularne vrijednosti - SVD). Ako je $A \in \mathbb{R}^{m \times n}$ realna matrica, onda postoje ortogonalne matrice $U = [u_1, u_2, \dots, u_m] \in \mathbb{R}^{m \times m}$ i $V = [v_1, v_2, \dots, v_n] \in \mathbb{R}^{n \times n}$ te dijagonalna matrica $\Sigma \in \mathbb{R}^{s \times s}$

$$\Sigma = \begin{bmatrix} \sigma_1 & & & \\ & \sigma_2 & & \\ & & \ddots & \\ & & & \sigma_s \end{bmatrix},$$

gdje je $s = \min \{m, n\}$ i $\sigma_1 \geq \sigma_2 \geq \dots \geq \sigma_s \geq 0$, takve da je

$$A = U\Sigma V^T.$$

Dokaz. Vidi [8], str. 70, teorem 2.5.2. □

Realne brojeve $\sigma_1, \sigma_2, \dots, \sigma_s$ zovemo **singularne vrijednosti** matrice A , matricu Σ matricom singularnih vrijednosti, u_1, u_2, \dots, u_m **lijevim singularnim vektorima**, a v_1, v_2, \dots, v_n **desnim singularnim vektorima**.

Teorem 2.2. Neka je $A \in \mathbb{R}^{m \times n}$ i $A = U\Sigma V^T$ dekompozicija na singularne vrijednosti dana u teoremu 2.1. Neka je $r = r(A) \leq s = \min \{m, n\}$. Definiramo

$$A_k = \sum_{i=1}^k u_i \sigma_i v_i^T \tag{5}$$

gdje je $k < r$. Tada je

$$\min_{r(B)=k} \|A - B\|_2^2 = \|A - A_k\|_2^2 = \sigma_{k+1}.$$

Dokaz. Vidi [8], str. 71. □

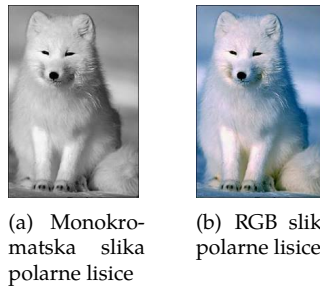
⁹eng. Singular Value Decomposition - SVD

U ovom radu, osnovni cilj jeste prikazati dvije primjene aproksimacije proizvoljne matrice A matricom nižeg ranga. U teoremu 2.2 eksplicitno je određena najbolja aproksimacija ranga k i pri tome je u dana pogreška aproksimacije u smislu 2-matrične norme (vidi [6], 22. str., lema 1.7). Budući da su singularne vrijednosti na dijagonali matrice Σ raspoređene u padajućem poretku, jasno je da će greška biti manja što je rang aproksimacije veći. Koristeći takvu ocjenu greške, možemo definirati i relativno smanjenje veličine matrice kao

$$\varrho_k = \frac{\|A - A_k\|_2}{\|A\|_2} = \frac{\sigma_{k+1}}{\sigma_1}. \quad (6)$$

3 Primjena SVD rastava u kompresiji slike

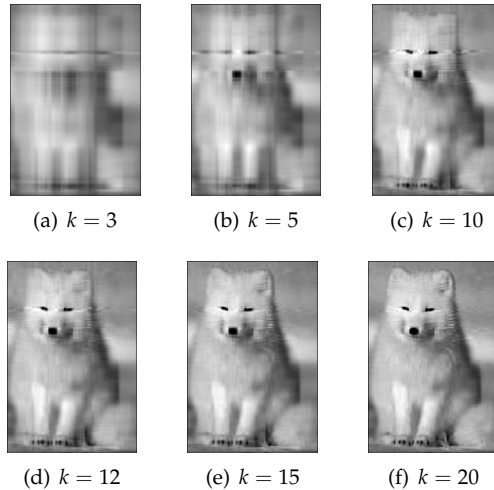
Činjenica iz teorema 2.2 može se upotrijebiti u svrhu kompresije slike. U nastavku dajemo rezultate kompresije slike na primjeru arktičke lisice koja je provedena pomoću programa implementiranog u programskom jeziku *MATLAB*.



Slika 4: Slike polarne lisice

Monokromatska slika arktičke lisice slika 4(a) zapisana je u obliku matrice veličine 283×192 . Također možemo vidjeti i RGB sliku arktičke lisice slika 4(b) koja je zapisana u obliku matrice $283 \times 192 \times 3$.

Aproksimirajući matricu monokromatske slike koristeći redom prvih 3, 5, 10, 12, 15 i 20 singularnih vrijednosti u formuli 5 dobivamo sljedeće kompresirane slike (slika 5).

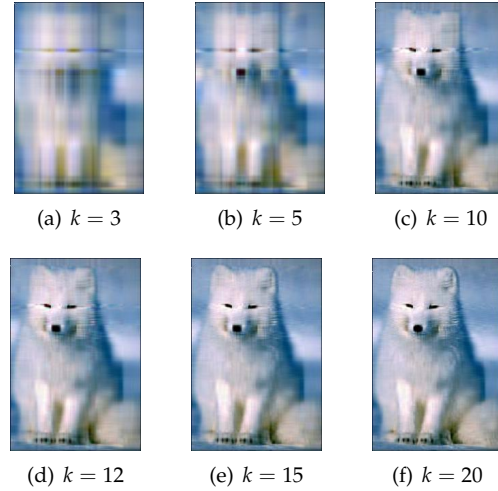


Slika 5: Kompresija monokromatske slike polarne lisice za $k = 3, 5, 10, 12, 15, 20$

Tablica 3: Broj pixela kompresirane monokromatske slike polarne lisice za $k = 3, 5, 10, 12, 15, 20$

	Original	$k=3$	$k=5$	$k=10$	$k=12$	$k=15$	$k=20$
crno-bijela slika (broj pixela)	54336	1428	2380	4760	5712	7140	9520

Prilikom kompresije slika u boji aproksimirane su sve tri matrice spektra pomoću prvih nekoliko singularnih vrijednosti prema formuli (5). Na slici 6 vidimo kompresije slika koristeći redom prvih 3, 5, 10, 12, 15 i 20 singularnih vrijednosti.

Slika 6: Kompresija RGB slike polarne lisice za $k = 3, 5, 10, 12, 15, 20$

Budući je svaki spektar RGB slike potrebno aproksimirati, uštede memorije koju postižemo kompresijom monokromatskih i RGB slika su identične. U tablici 4 vidimo postotni udio pixela kompresije u broju pixela originala.

Tablica 4: Broj pixela kompresirane RGB slike polarne lisice za $k = 3, 5, 10, 12, 15, 20$

	Original	$k=3$	$k=5$	$k=10$	$k=12$	$k=15$	$k=20$
Ušteda kompresije	100%	2,63%	4,38%	8,76%	10,51%	13,14%	17,52%

4 Primjena SVD rastava u dohvatu informacija

Neka je $A = U\Sigma V^T$ rastav na singularne vrijednosti iz teorema 2.1. Vektor upita q uspoređivat ćemo sa stupcima aproksimacije A_k matrice baze podataka A , koja je dana u (5). Istu relaciju možemo zapisati i na sljedeći način

$$A_k = U_k \Sigma_k V_k^T \quad (7)$$

gdje je $U_k = [u_1 u_2 \dots u_k] \in \mathbb{R}^{m \times k}$ matrica koja se sastoji od prvih k stupaca matrice U , $\Sigma_k \in \mathbb{R}^{k \times k}$ dijagonalna matrica koja na dijagonali ima samo prvi k singularnih vrijednosti matrice A i $V_k = [v_1 v_2 \dots v_k] \in \mathbb{R}^{n \times k}$ matrica koja se sastoji od prvih k stupaca matrice V .

Umjesto vektora a_j za $j = 1, 2, \dots, d$ u formuli (4) koristit ćemo j -ti stupac matrice A_k koji se može zapisati kao $A_k e_j$ gdje je $e_j = [0, \dots, 1, \dots, 0]^T$ j -ti vektor kanonske baze od \mathbb{R}^n . Koristeći (7) u (4) dobivamo da je

$$\cos \theta_j = \frac{(A_k e_j)^T q}{\|A_k e_j\| \|q\|} = \frac{(U_k \Sigma_k V_k^T e_j)^T q}{\|U_k \Sigma_k V_k^T e_j\| \|q\|} \quad (8)$$

Propozicija 4.1.

- a) Ako je $Q \in \mathbb{R}^{m \times n}$ matrica takva da je $Q^T Q = I_n \in \mathbb{R}^{n \times n}$, onda je $\|Qx\| = \|x\|$ za svaki $x \in \mathbb{R}^n$.
- b) Ako je $V \in \mathbb{R}^{m \times n}$ matrica takva da je $V V^T = I_m \in \mathbb{R}^{m \times m}$, onda je $\|V^T y\| = \|y\|$ za svaki $y \in \mathbb{R}^m$.

Dokaz. a) Neka je $Q \in \mathbb{R}^{m \times n}$ matrica takva da je $Q^T Q = I \in \mathbb{R}^{n \times n}$ i $x \in \mathbb{R}^n$. Tada vrijedi

$$\|Qx\|^2 = (Qx)^T (Qx) = x^T Q^T Q x = x^T I_n x = x^T x = \|x\|^2,$$

odakle tvrdnja slijedi zbog proizvoljnosti od x .

b) Dokazuje se analogno a). □

Budući da je $U \in \mathbb{R}^{p \times p}$ ortogonalna matrica, $U_k \in \mathbb{R}^{p \times k}$ zadovoljava uvjet iz tvrdnje a) u propoziciji 4.1. Odatle slijedi da relaciju u (8) možemo zapisati kao

$$\cos \theta_j = \frac{e_j^T V_k \Sigma_k (U_k^T q)}{\|\Sigma_k V_k^T e_j\| \|q\|}.$$

Uvođenjem supsticije $s_j = \Sigma_k V_k^T e_j$ za $j = 1, \dots, d$ dobivamo da je

$$\cos \theta_j = \frac{s_j^T (U_k^T q)}{\|s_j\| \|q\|}. \quad (9)$$

Sada ćemo dati geometrijsku interpretaciju formule (9).

- Geometrijska interpretacija vektora s_j za $j = 1, \dots, d$

Relaciju

$$U_k s_j = U_k \Sigma_k V_k^T e_j = A_k e_j$$

možemo zapisati i na sljedeći način

$$A_k e_j = U_k s_j = \sum_{i=1}^k s_{ij} u_i^{(k)},$$

gdje je $u_i^{(k)}$ i -ti stupac matrice U_k , a s_{ij} je i -ta komponenta vektora s_j . Odatle vidimo da s_j sadrži koordinate j -tog stupca matrice A_k u potprostoru razapetom stupcima matrice U_k . Stupci matrice U_k čine jednu ortonormirani bazu u prostoru razapetom stupcima matrice A_k .

- Geometrijska interpretacija vektora $U_k q$

Na sličan način interpretiramo vektor $U_k q$. Najprije uočimo da je $U_k U_k^T q$ projekcija vektora upita na prostor razapet stupcima matrice A_k .

$$U_k U_k^T q = \sum_{i=1}^k ((u_i^{(k)})^T q) u_i^{(k)}.$$

Odatle vidimo da vektor $U_k^T q$ sadrži koordinate projekcije vektora upita q na potprostor razapet stupcima matrice U_k .

Iz prethodnih razmatranja jasno je da se vektor upita zamjenjuje projekcijom na vektorski prostor razapet stupcima matrice A_k (gdje stupci od U_k čine jednu ortonormirani bazu) a vektor j -tog dokumenta zamjenjuje se j -tim stupcem matrice A_k koji je u (9) prikazan kao linearna kombinacija stupaca matrice U_k . Takav pristup računanja omogućava sljedeće:

- značajnu uštedu resursa¹⁰ kod velikih baza podataka
- Vektori s_j računaju se samo jednom za cijelu bazu podataka
- Nije potrebno računati sve singularne vrijednosti, lijeve i desne singularne vektore, već samo prvih k .

¹⁰računalna memorija i vrijeme

Primjer 2. Neka je zadana baza podataka matricom iz tablice 2. Prepostavimo da korisnik želi pronaći sve dokumente čiji je sadržaj vezan za kognitivnu terapiju te da je njegov upit predstavljen vektorom q iz (3).

Na slici 7 predstavljen je rezultat pretraživanja na originalnoj matrici baze podataka iz tablice 2. Najrelevantniji dokument je onaj koji ima najveću ocjenu iz (9). U našem slučaju to je dokument s nazivom Kognitivna terapija. Prilikom određivanja relevantnih dokumenata za zadani upit, određuje se prag ocjene¹¹. Ako je ocjena veća od te vrijednosti, dokument je relevantan za dani upit, inače smatramo ga irelevantnim. Primjerice, uz-memo li da je prag 0.5, relevantni dokumenti za upit kognitivna terapija bit će dokumenti s nazivom Kognitivna terapija, Kognitivno-bihevioralna terapija za psihijatrijske probleme i Osnove kognitivne terapije.

[fontsize=\small]	
Kognitivna terapija	1
Kognitivno-bihevioralna terapija za psihijatrijske probleme	0.8165
Osnove kognitivne terapije	0.8165
Klinička farmacija i terapija	0.5
Kognitivna psihologija	0.5
Kognitivna znanost	0.5
Patologija i terapija tvrdih zubnih tkiva	0.40825
Snaga intuicije	1.6188e-017
Psiholingvistica i kognitivna znanost u hrvatskoj primjenjenoj lingvistici	7.2139e-018
Gramatika i predočavanje	0
Život bez droge	-2.3797e-016
Život bez boli	-5.0218e-016

Slika 7: Rezultati upita kognitivna terapija na originalnoj matrici baze podataka

Usporedimo li dobivene rezultate i rezultatima sa slike 8 gdje je matrica baze podataka zamijenjena aproksimacijom ranga 9, vidjet ćemo da su i dodatni dokumenti ocijenjeni kao relevantni. Ovdje ne možemo sa sigurnošću tvrditi da li postoji stvarna semantička veza između upita i dokumenata Kognitivna psihologija, Kognitivna znanost i Klinička farmacija i terapija. To je jedno od svojstava modela indeksiranja skrivene semantike. Jasno je da eventualne greške u određivanju relevantnih dokumenata dolaze zbog aproksimacije matrice baze podataka. Općenito je nemoguće odgovoriti koja aproksimacija¹² je najbolja. Koristeći (6) dobivamo

¹¹u engleskoj literaturi uglavnom se navodi kao *cut-off* ili *threshold*

¹²ovdje se misli na rang aproksimacije

PRIMJENA SVD RASTAVA MATRICE U DOHVATU INFORMACIJA I KOMPRESIJI SLIKE

da je

$$\varrho_9 = \frac{\sigma_{10}}{\sigma_1} = \frac{1}{2.9745} = 0.3362,$$

odnosno, aproksimacijom ranga 9 dolazi do smanjenja u veličini matrice za 33.62%

U sljedećem primjeru vidjet ćemo da takvo smanjenje veličine za određene upite smanjuje relevantnost pronađenih dokumenata.

Primjer 3. Prepostavimo da korisnik, u bazi podataka danoj u tablici 1, želi pronaći dokumente koji imaju veze sa **bihevioralnom terapijom**.

Odgovarajući vektor upita (slično kao u (3)) je

$$w = [\begin{array}{cccccccccccccccc} 0 & 0 & 0 & 0 & 0 & 0 & 1 & 0 & 0 & 0 & 0 & 0 & 0 & 0 & 1 & 0 & 0 & 0 \end{array}]^T \quad (10)$$

Iako je

$$\varrho_6 = \frac{\sigma_7}{\sigma_1} = \frac{1}{2.9745} = 0.3362,$$

vidimo da je **Klinička farmacija i terapija** pronađen kao najrelevantniji dokument za upit w . Međutim, stvarni najrelevantniji dokument je **Kognitivno-bihevioralna terapija za psihijatrijske probleme**. U ovom slučaju vidimo da je aproksimacija rangom 6 neprihvatljiva iako uzrokuje isti gubitak informacija (33.62%).

Kognitivna terapija	1
Osnove kognitivne terapije	0.88806
Kognitivno-bihevioralna terapija za psihijatrijske probleme	0.88806
Kognitivna psihologija	0.55489
Kognitivna znanost	0.55489
Klinička farmacija i terapija	0.5429
Patologija i terapija tvrdih zubnih tkiva	0.43487
Snaga intuicije	1.8644e-017
Psiholingvistika i kognitivna znanost u hrvatskoj primjenjenoj lingvistici	7.5769e-018
Gramatika i predočavanje	0
Život bez droge	-3.3855e-016
Život bez boli	-5.9468e-016

Slika 8: Rezultati upita kognitivna terapija na aproksimaciji ranga 9 matrice baze podataka

Klinička farmacija i terapija	0.9616
Osnove kognitivne terapije	0.83169
Kognitivno-bihevioralna terapija za psihijatrijske probleme	0.83169
Kognitivna terapija	0.81266
Patologija i terapija tvrdih zubnih tkiva	0.548
Kognitivna psihologija	0.086524
Kognitivna znanost	0.086524
Život bez droge	7.403e-016
Život bez boli	7.3153e-016
Gramatika i predočavanje	0
Psiholingvistica i kognitivna znanost u hrvatskoj primjenjenoj lingvistici	-4.1303e-017
Snaga intuicije	-4.1303e-017

Slika 9: Rezultati upita bihevioralna terapija na aproksimaciji ranga 6 matrice baze podataka

Literatura

- [1] Ioannis Antonellis and Efstratios Gallopolous, *Exploring term-document matrices from matrix models in text mining*, 2006.
- [2] Michael W. Berry, Zlatko Drmač, and Elizabeth R. Jessup, *Matrices, vector spaces, and information retrieval*, SIAM Rev. **41** (1999), no. 2, 335–362.
- [3] Michael W. Berry, Susan T. Dumais, and Gavin W. O’Brien, *Using linear algebra for intelligent information retrieval*, SIAM Review **37** (1995), no. 4, 573–595.
- [4] Michael W. Berry and Ricardo D. Fierro, *Low-rank orthogonal decompositions for information retrieval applications*, Numerical Linear Algebra with Applications **3** (1996), 301–328.
- [5] Scott Deerwester, Susan T. Dumais, George W. Furnas, Thomas K. Landauer, and Richard Harshman, *Indexing by latent semantic analysis*, Journal of the American Society for Information Science **41** (1990), 391–407.
- [6] James Demmel, *Applied numerical linear algebra*, Society for Industrial and Applied Mathematics, 1997.
- [7] C. Ding and J. Ye, *2-dimensional singular value decomposition for 2d maps and images*, Proc. of SIAM Int. Conf. on Data Mining (2005), 32–43
- [8] Gene H. Golub and Charles F. Van Loan, *Matrix computations (johns hopkins studies in mathematical sciences)*, The Johns Hopkins University Press, October 1996.

PRIMJENA SVD RASTAVA MATRICE U DOHVATU INFORMACIJA I KOMPRESIJI SLIKE

- [9] S. K. M. Wong, Wojciech Ziarko, and Patric C. N. Wong, *Generalized vector space model in information retrieval*, Proc. of the 8th annual international ACM SIGIR conference on Research and development in information retrieval (1985), 18–25.